

07

## Особенности угловой селективности объемных голограмм в направлении недисперсионной угловой расстройки

© А.И. Хижняк, В.Б. Марков

Институт прикладной оптики НАН Украины, Киев  
MetroLaser Inc., Skypark Circle 18010, Suite 100, Irvine, California 92614

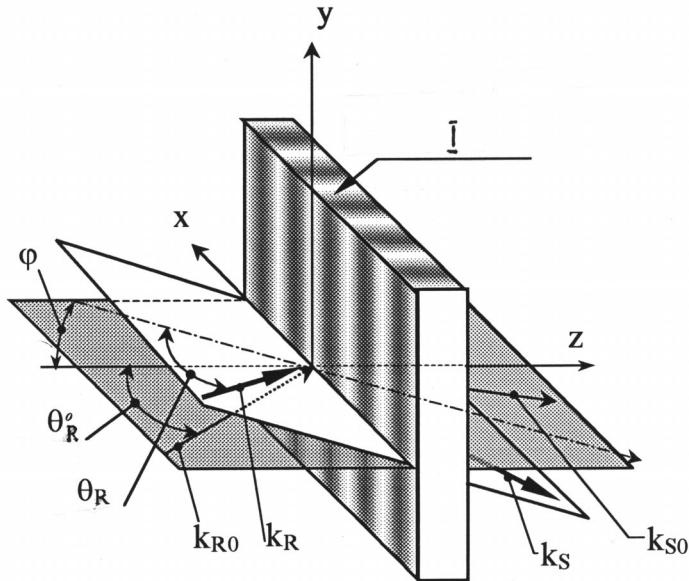
Поступило в Редакцию 23 сентября 1999 г.

Исследовано влияние на эффективность дифракции углового рассогласования голограммы и восстанавливающего пучка в направлении, перпендикулярном плоскости дисперсии. Показано, что при выполнении условий Брэгга угловая разъюстировка в этом направлении может приводить к существенному увеличению интенсивности дифрагированного пучка. Результаты расчетов "аномального" поведения дифракционной эффективности находятся в хорошем согласии с экспериментальными данными для голограмм, записанных в слоях фотополимера.

Явление угловой (и спектральной) селективности объемных фазовых решеток хорошо известно и широко используется при создании голографических оптических элементов [1], в системах голографической памяти [2,3] и пр. В [4] было показано, что угловая расстройка  $\delta\theta_1$  между решеткой и восстанавливающим пучком в плоскости дисперсии ведет к снижению интенсивности дифрагированного сигнала  $I_D$ , если фазовый набег в решетке не превышает  $\pi/2$ . Принято считать, что угловая селективность  $\delta\theta_2$  в направлении, перпендикулярном плоскости дисперсии (тангенциальном), аналогична, хотя и менее выражена, чем  $\delta\theta_1$ ; т.е. величина  $I_D$  также должна уменьшаться по мере наклона решетки в этом направлении [5,6].

В настоящей работе показано, что значение  $I_D$  при тангенциальном наклоне решетки относительно восстанавливающего пучка, может существенно возрастать, в зависимости от исходного значения дифракционной эффективности  $\eta^{(0)}$  (в отсутствии тангенциального наклона).

Рассмотрим объемную фазовую голографическую решетку (рис. 1), волновой вектор которой  $|K| = 2\pi/\Lambda$  лежит в плоскости  $X-Z$  ( $\Lambda = \lambda/2 \sin \theta_0$  — период решетки,  $\lambda$  — длина волны и  $\theta_0$  — угол



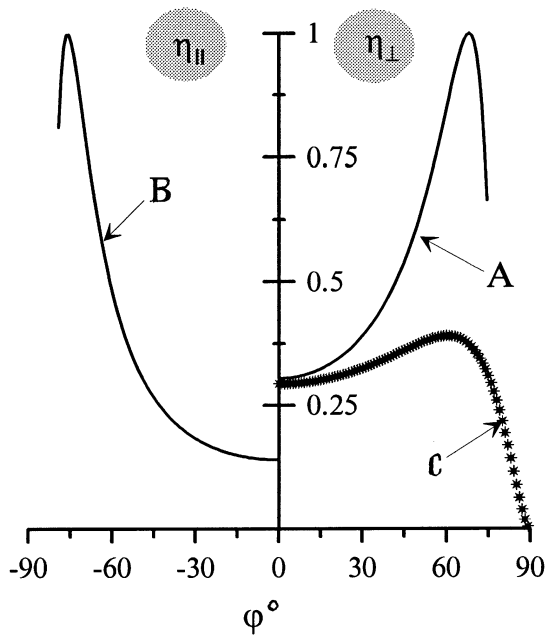
**Рис. 1.** Геометрия восстановления голограммы при ее угловом наклоне в тангенциальном направлении. *I* — объемная решетка.

схождения пучков в симметричной геометрии записи). Дифракционная эффективность такой голограммы при восстановлении пучком с  $s$  ( $\eta_{\perp}$ ) и  $p$  ( $\eta_{\parallel}$ ) поляризацией описываются выражениями [4]:

$$\eta_{\perp} = \Delta\varepsilon^2 \frac{\sin^2\left(\frac{2\pi\xi}{\lambda}\right) \sqrt{\Delta\varepsilon^2 + \delta^2}}{\Delta\varepsilon^2 + \delta^2},$$

$$\eta_{\parallel} = \Delta\varepsilon^2 \frac{\sin^2\left(\frac{2\pi\xi \cos(\theta_R + \theta_S)}{\lambda}\right) \sqrt{\Delta\varepsilon^2 + \delta^2}}{\Delta\varepsilon^2 + \delta^2}, \quad (1)$$

где  $\delta = [\cos(\theta_R) - \cos(\theta_R^0)] \times \sqrt{\cos(\theta_R) \cos(\theta_S)}$ ,  $\theta_R^0$ ,  $\theta_R$ ,  $\theta_S$  — соответственно угол падения записывающего, восстанавливающего и дифрагированного пучков,  $\Delta\varepsilon = 2n_G \times \Delta n$ ,  $\xi = d / \sqrt{\cos(\theta_R) \cos(\theta_S)}$ ;  $d$  — толщина и  $\Delta n$  — глубина модуляции показателя преломления регистрирующей среды, а  $n_G$  — ее средний показатель преломления.



**Рис. 2.** Расчетная зависимость дифракционной эффективности  $\eta_{\perp,||}(\varphi)$  при  $\Phi_0 = 0.6$  для пучков с  $s$  (A)- и  $p$  (B)-поляризацией в иммерсионной среде и в свободном пространстве (C),  $n_G = 1.51$ .

В интересующем нас случае поворот решетки на угол  $\varphi$  происходит вокруг оси  $X$  (рис. 1), при этом для выполнения условия Брэгга угол считывания  $\theta_R$  должен удовлетворять условию:

$$\theta_R = \arccos [\cos(\theta_R^0) \cdot \cos(\varphi)]. \quad (2)$$

В условиях, когда показатели преломления регистрирующего материала и окружающей среды равны (решетка в иммерсионной среде), при симметричном падении  $\theta_R^0 = \theta_S^0$ , равном углу Брэгга (вектор решетки параллелен оси  $X$ ), и тангенциальной разъюстировке на угол  $\varphi$  выражение (1) может быть преобразовано к

$$\eta_{\perp}(\varphi) = \sin^2 [\Phi_0 / \cos(\varphi)]; \quad \eta_{||}(\varphi) = \sin^2 [\Phi_0 \cos(2\theta_R) / \cos(\varphi)], \quad (3)$$

где  $\Phi_0 = 2\pi \Delta \varepsilon^2 \xi / \lambda$  — "сила" решетки.

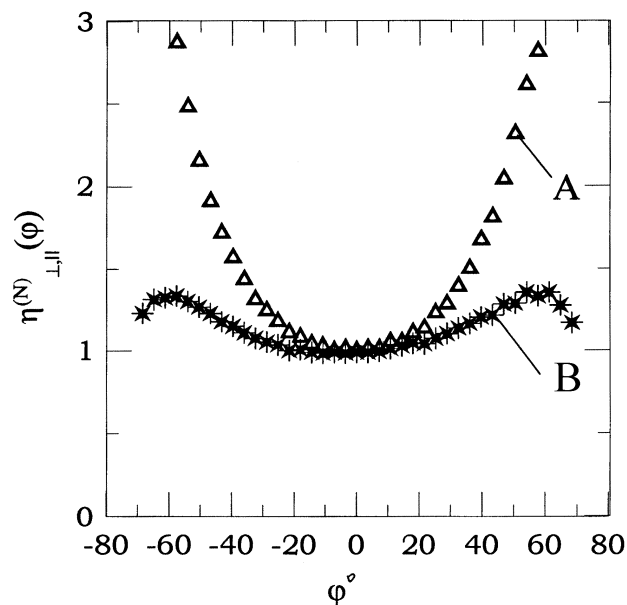
Расчетные зависимости дифракционной эффективности  $\eta_{\perp}(\varphi)$  и  $\eta_{\parallel}(\varphi)$ , полученные согласно (3), показаны на рис. 2 ( $\Phi_0 = 0.6$ , кривые А–В для пучков с  $s$ - и  $p$ -поляризацией соответственно). Как следует из приведенных данных, угловое рассогласование в тангенциальном направлении сопровождается значительным ростом интенсивности дифрагированного сигнала. Реальное увеличение интенсивности  $I_D$  для данной геометрии определяется поляризацией восстанавливающего пучка и исходной силой решетки  $\Phi_0$  и тем значительней, чем меньше  $\Phi_0$ .

Картина оказывается более сложной при дифракции пучка на голограмме в отсутствие иммерсии на границе регистрирующей среды. В этом случае наклон на угол  $\varphi$  сопровождается изменением коэффициентов отражения для восстанавливающего и дифрагированного пучков  $R_s$  и  $R_p$  на границе среды. Помимо этого, увеличение угла  $\varphi$  изменяет длину оптического пути этих пучков в среде, а его максимальное значение ограничено углом полного внутреннего отражения. Соответствующие выражения для  $\eta_j(\varphi)$  приобретают более сложный вид и, например, для восстанавливающего пучка с  $s$ -поляризацией запишутся следующим образом:

$$\eta_s(\varphi) = \eta_{\perp}^0 \frac{[T_s \cos^2(\varphi) \sin^2(\theta_B) + T_p \sin^2(\varphi)]}{\cos^2(\theta_B) [\operatorname{tg}^2(\theta_B) + \sin^2(\varphi)]} \times \left[ \sqrt{T_s} + \frac{(\sqrt{T_p} - \sqrt{T_s}) \sin^2(\varphi)}{1 - \cos^2(\varphi) \sin^2(\theta_B)} \right], \quad (4)$$

где  $T_s(\varphi, \theta)$  и  $T_p(\varphi, \theta)$  — зависящие от  $\varphi$  и  $\theta$  коэффициенты пропускания границы раздела двух сред для  $s$ - и  $p$ -поляризации соответственно. Следующая из (4) зависимость  $\eta_s(\varphi)$  для этого случая также показана на рис. 2 (кривая С). Сопоставление двух представленных на рис. 2 зависимостей  $\eta_{\perp}(\varphi)$  показывает, что отсутствие иммерсии между голограммой и окружающей средой существенно снижает интенсивность дифрагированного пучка при тангенциальной разъюстировке.

Экспериментальные исследования описанного аномального поведения угловой селективности решеток при тангенциальной угловой разъюстировке проводились на объемных фазовых пропускающих голограммах, записанных в фотополимере (пленка DuPont HRF-150X001-38 толщиной  $d = 38 \mu\text{m}$  на стеклянной подложке толщиной  $\sim 1 \text{mm}$ ). Голограмма устанавливалась на поворотном столике с угловым разрешением  $15'$  в плоскости дисперсии и  $1^\circ$  в перпендикулярном направлении.



**Рис. 3.** Экспериментальные зависимости нормированной дифракционной эффективности  $\eta_{\perp,||}^{(N)}(\varphi) = \eta_{\perp,||}(\varphi)/\eta_{\perp,||}^{(0)}$  при  $\Phi_0 = 0.22$  для пучков с  $s$ -поляризацией в иммерсионной среде (кривая A) и свободном пространстве (кривая B) при  $\Phi_0 = 0.6$ .

Геометрия записи была симметричной ( $\theta_S^\circ = \theta_R^\circ = 20^\circ$ ,  $\Lambda \approx 0.8 \mu\text{m}$ ). В качестве источника записи использовалось излучение второй гармоники ( $\lambda = 532 \text{ nm}$ ) Nd:YAG лазера ADLAS-325II ( $P = 200 \text{ mW}$ ), а считывание осуществлялось пучком He-Ne лазера ( $\lambda = 633 \text{ nm}$ ). Установленная в этом пучке пластина  $\lambda/2$  позволяла вращать плоскость поляризации с точностью  $\sim 2^\circ$ .

В большинстве проведенных экспериментов начальная величина дифракционной эффективности  $\eta_{\perp,||}^{(0)}$  не превышала 20% для  $\lambda = 630 \text{ nm}$ . Точность определения интенсивности дифрагированного пучка была не хуже 0.4% во всем диапазоне измерений. Измерения зависимостей  $\eta_{\perp,||}(\varphi)$  проводились для решетки в иммерсионной среде (глицерин

$n_{im} = 1.475$  при  $n_G \approx 1.49-1.51$  для используемых слоев фотополимера [7]) и в свободном пространстве.

На рис. 3 (точки А) представлена угловая зависимость нормированной дифракционной эффективности  $\eta_{\perp}^{(N)}(\varphi) = \eta_{\perp}(\varphi)/\eta_{\perp}^{(0)}$  для  $s$ -поляризованного пучка. Как следует из приведенных данных, угловая разъюстировка в тангенциальном направлении позволяет достичь практически 3-кратного увеличения  $\eta_{\perp}^{(N)}$  (при  $\eta_{\perp}^{(0)} \approx 7\%$ ) в отсутствие отражения на граничных поверхностях (решетка в иммерсионной среде). Зависимость  $\eta_{\parallel}^{(N)}(\varphi)$  для пучка с  $p$ -поляризацией при данных условиях эксперимента (угол падения  $\theta_0$  и фазовый набег  $\Phi_0$ ) практически не отличаются от аналогичных данных для  $\eta_{\perp}^{(N)}(\varphi)$ .

Экспериментальные результаты тангенциальной угловой селективности для голограммы в свободном пространстве (при  $\eta_{\perp}^{(0)} \approx 20\%$ ), восстанавливаемой пучком с  $s$ -поляризацией, также приведены на рис. 3 (кривая  $b$ ). Как следует из сопоставления кривых А и В, представленных на этом рисунке, наличие границы раздела голограмма-окружающая среда существенно ограничивает максимально достигаемое значение зависимости  $\eta_{\perp}^{(N)}(\varphi)$ , а для сред с большим показателем преломления (например, кристаллы  $\text{LiNbO}_3$ ) зависимость  $\eta_{\perp}^{(N)}(\varphi)$  имеет только спадающий характер. Именно этим фактором определялся ход зависимости  $\eta(\varphi)$ , наблюдавшийся в [5,6].

Рост интенсивности  $I_D$  при тангенциальном наклоне решетки обусловлен увеличением эффективного фазового набега  $\Phi$ . Действительно, разъюстировка на угол  $\varphi$  в тангенциальном направлении при сохранении условий Брэгга, в соответствии с выражением 1, не нарушает согласования волновых векторов решетки, восстанавливающего и дифрагирующего пучков ( $k_{R0} - k_{S0} = k_R - k_S = K$ , см. рис. 1). В то же время разъюстировка в этом направлении приводит к увеличению оптического пути внутри решетки, результатом чего является рост величины  $\Phi$  и, как следствие, изменение  $I_D$ .

В заключение отметим, что продемонстрированный в настоящей работе аномальный характер зависимости интенсивности дифрагированного пучка от тангенциального наклона объемной фазовой решетки присущ не только объемным, но и рельефным решеткам, а в случае тонких решеток приводит к перераспределению интенсивности дифракционных порядков.

## Список литературы

- [1] *Rambottom A.P., Sergeant S.A.* // SPIE Proc. 1992. V. 1667. P. 146.
- [2] *Mok F.* // Opt. Lett. 1993. V. 18. P. 915.
- [3] *Rosen J., Segev M., Yarive A.* // 1993. Opt. Lett. V. 18. P. 744.
- [4] *Kogelnik H.* // Bell Syst. Tech. 1969. V. 48. P. 2909.
- [5] *Markov V., Khizhnyak A., Shishkov V.* // Ukr. Phys. J. 1985. V. 30. P. 508.
- [6] *Sander E.A., Shkunov V.V., Shoydin S.A.* // Sov. Phys. JETP. 1985. V. 61. P. 68.
- [7] *Weber A.M., Smothers W.K.* et al. // SPIE Proc. 1990. V. 1212. P. 30.